

非线性对流-扩散方程的高阶特征-差分格式及其误差估计* 1)

由 同 顺

(南开大学数学系)

HIGH-ORDER CHARACTERISTIC-DIFFERENCE SCHEMES FOR THE NONLINEAR CONVECTION-DIFFUSION EQUATION AND THEIR ERROR ESTIMATES

You Tong-shun

(Department of Mathematics, Nankai University)

Abstract

A high-order characteristic-difference method for the nonlinear convection-dominated diffusion problem is considered. The method is of order two for the diffusion term and of order $m(\geq 3)$ for the convection term. The error estimates of the scheme are given. Numerical computations for the model problem of [4] are presented. The numerical results show that the method is better than the Godunov-mixed method of [4].

§1. 引 言

由于对流项在对流占优的扩散问题中起主导作用,所以人们在构造数值格式时,应设法提高对流项的逼近精度,从而达到提高对整个对流扩散问题逼近精度的目的。为此,本文对于对流项的逼近采用比扩散项更高阶的逼近。本文对下列问题

$$(A) \begin{cases} c(x, u) \frac{\partial u}{\partial t} + \mathbf{b}(x, u) \cdot \nabla u - \nabla \cdot (a(x, u) \nabla u) = f(x, u), & x \in \Omega = [0, 1]^2, 0 \leq t \leq T, \\ u(x, 0) = u_0(x), \\ \text{周期为 } 1 \text{ 的边界条件,} \end{cases}$$

其中 $\mathbf{b}(x, u) = (b_1(x, u), b_2(x, u))$, T 为固定正常数。建立了基于分片 $m(\geq 3)$ 次三角形或矩形插值的高阶特征-差分格式,其对扩散的逼近为 2 阶,对于对流项的逼近为 m 阶。本文在比 [1]—[3] 更弱的时间与空间步长限制(见(3.17))下,得到了格式的 L^2 , H^1 及最

* 1993 年 11 月 19 日收到。

1) 攀登计划大规模科学与工程计算项目资助。

大模误差估计, 从而改善和推广了[1]—[3]的结果. 本文对[4]中模型问题进行了计算, 计算结果表明高阶特征-差分格式远优于全隐格式及[4]中混合 Godunov 格式. 本文只对均匀网格进行了讨论, 对于非均匀网的情形以后讨论.

假定问题(A)的相关系数, 初始数据及解是周期的且有必要的光滑性并满足条件(H):

(i) $\|u_0\|_{L^\infty(\Omega)} \leq K_1$, (ii) $\forall (x, q) \in \Omega \times [-2K_1, 2K_1]$ 有 $0 < c_0 \leq c(x, q) \leq K_2$, $0 < a_0 \leq a(x, q) \leq K_2$, $|b_i(x, q)| \leq K_2$ 及 a, b_i, c, f 的一阶偏导数及 $\frac{\partial^2 a}{\partial q^2}, \frac{\partial^2 a}{\partial x_i \partial q}$ 有界.

文中, v_{ij}^n 表示 $v(x_{ij}, t^n)$, $\varphi_i(v_{ij}^n)$ 表示 $\varphi(x_{ij}, v_{ij}^n)$ 等, M 表示绝对正常数, $\widehat{M}_i (s_1, \dots, s_r)$ 表示与 s_1, \dots, s_r 相关的正常数, ε 表示小的正数. 不同式子中的 $\varepsilon, M, \widehat{M}$ 可以不相同.

§ 2. 特征-差分格式

假设空间步长 $h = \frac{1}{J}$, $x_{ij} = (x_{1i}, x_{2j}), x_{1i} = ih, x_{2j} = jh, i, j = 1, 2, \dots, J$; $\Delta t = \frac{T}{N}$ 为时间步长, $t^n = n\Delta t, n = 0, 1, \dots, N$. 在 (x_{ij}, t^n) 处, 特征方向导数如下逼近^{[1]-[3]}:

$$\left(c(u) \frac{\partial u}{\partial t} + \mathbf{b}(u) \cdot \nabla u \right)_{ij}^n \approx c(u_{ij}^n) \frac{u_{ij}^n - \bar{u}_{ij}^{n-1}}{\Delta t},$$

其中 $\bar{x}_{ij} = x_{ij} - \mathbf{b}(u_{ij}^n) \Delta t / c(u_{ij}^n)$, $\bar{u}_{ij}^{n-1} = u(\bar{x}_{ij}, t^{n-1})$. 用 $\delta_{x_i}, \delta_{x_i}$ 分别表示 x_i 方向的前向和后向差分算子.

$$\nabla_h (a \nabla_h u)_{ij}^n = \delta_{\bar{x}_1} (a \delta_{x_1} u)_{ij}^n + \delta_{\bar{x}_2} (a \delta_{x_2} u)_{ij}^n,$$

$$\delta_{\bar{x}_1} (a \delta_{x_1} u)_{ij}^n = h^{-1} (a_{i+\frac{1}{2}, j}^n \delta_{x_1} u_{ij}^n - a_{i-\frac{1}{2}, j}^n \delta_{x_1} u_{ij}^n), a_{i+\frac{1}{2}, j}^n = \frac{1}{2} (a(u_{ij}^n) + a(u_{i+\frac{1}{2}, j}^n)),$$

类似地可定义 $\delta_{\bar{x}_2} (a \delta_{x_2} u)_{ij}^n, a_{i, j+\frac{1}{2}}^n$.

设 $\{U_{ij}^n\}$ 为问题(A)的逼近解, $U^{n-1}(x)$ 表示由 $\{U_{ij}^{n-1}\}$ 在 Ω 上进行分片 m 次三角形或矩形插值得到的函数, 则问题(A)的高阶特征-差分格式为

$$\begin{cases} c(U_{ij}^{n-1}) \frac{U_{ij}^n - \tilde{U}_{ij}^{n-1}}{\Delta t} - \nabla_h (A \nabla_h U)_{ij}^n = f(U_{ij}^{n-1}), i, j = 1, 2, \dots, J, \\ U_{ij}^0 = u_0(x_{ij}), \end{cases}$$

其中 $\tilde{U}_{ij}^{n-1} = U^{n-1}(\bar{x}_{ij}), \bar{x}_{ij} = x_{ij} - \mathbf{b}(U_{ij}^{n-1}) \Delta t / c(U_{ij}^{n-1}),$

$$A_{i+\frac{1}{2}, j}^n = \frac{1}{2} [a(U_{ij}^{n-1}) + a(U_{i+\frac{1}{2}, j}^{n-1})], A_{i, j+\frac{1}{2}}^n = \frac{1}{2} [a(U_{ij}^{n-1}) + a(U_{i, j+\frac{1}{2}}^{n-1})].$$

最后, 我们定义网函数的内积和范数, 即

$$(W, Z) = \sum_{i, j=1}^J w_{ij} z_{ij} h^2, \|W\|^2 = (W, W), \|W\|_\infty = \max_{1 \leq i, j \leq J} |w_{ij}|,$$

$$\begin{aligned}
 (a \nabla_h W, \nabla_h Z) &= \sum_{i,j=1}^J (a_{i+\frac{1}{2},j} \delta_{x_i} w_{ij} \delta_{x_i} z_{ij} + a_{i,j+\frac{1}{2}} \delta_{x_i} w_{ij} \delta_{x_i} z_{ij}) h^2, \\
 \|a^{\frac{1}{2}} \nabla_h W\|^2 &= (a \nabla_h W, \nabla_h W), \quad \|W\|_1^2 = \|W\|^2 + \|\nabla_h W\|^2, \\
 \|W\|_{2,2}^2 &= \sum_{i=1}^2 \|\delta_{x_i} \delta_{x_i} W\|^2 + 2 \|\delta_{x_1} \delta_{x_2} W\|^2, \quad \|\nabla_h W\|_\infty = \max_{i=1,2} \|\delta_{x_i} W\|_\infty.
 \end{aligned}$$

§3. 误差估计

令 $\xi^n = u^n - U^n$, $\delta_t \xi^n = \frac{\xi^n - \xi^{n-1}}{\Delta t}$, 则

$$(c(U^{n-1}) \delta_t \xi^n, \delta_t \xi^n) - (\nabla_h(A \nabla_h \xi^n), \delta_t \xi^n) = \sum_{i=1}^5 (T_i, \delta_t \xi^n) + (e^n, \delta_t \xi^n), \quad (3.1)$$

其中 e^n 为截断误差, $T_1 = f(u^n) - f(U^{n-1})$, $T_2 = c(U^{n-1}) \frac{\bar{u}^{n-1} - \tilde{u}^{n-1}}{\Delta t}$,

$$T_3 = (c(U^{n-1}) - c(u^n)) \frac{u^n - \bar{u}^{n-1}}{\Delta t}, \quad T_4 = \nabla_h((a-A) \nabla_h u)^n, \quad T_5 = c(U^{n-1}) \frac{\xi^{n-1} - \xi^{n-1}}{\Delta t}.$$

为估计 ξ^n , 作归纳假设: 当 $m \leq n-1$ 时,

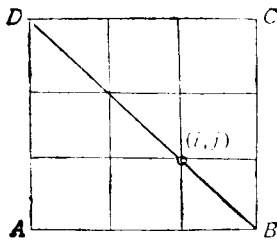
$$\|U^m\|_\infty \leq 2K_1, \quad \|\nabla_h \xi^m\|_\infty \leq K_3, \quad (3.2)$$

显然(3.2)对 $m=0$ 成立. 由条件(H)及(3.3)可得

$$\sum_{i=1}^3 |(T_i, \delta_t \xi^m)| \leq \varepsilon \|\delta_t \xi^m\|^2 + \tilde{M}_1 (\|u\|_{L^\infty(W^{1,\infty})}, \|u\|_{W^{1,\infty}(L^\infty)}) (\Delta t^2 + \|\xi^{m-1}\|^2). \quad (3.3)$$

类似于[3]中的分析, 经计算可知

$$|(T_4, \delta_t \xi^m)| \leq \varepsilon \|\delta_t \xi^m\|^2 + \tilde{M}_2 (\|u\|_{W^{1,\infty}(W^{1,\infty})}) (\Delta t^2 + \|\xi^{m-1}\|^2). \quad (3.4)$$



用 $\pi_3 v(x)$ 表示由 $\{v_{ij}\}$ 按分片三次三角形插值得到的函数.

$$Q_{ij} = [(i-2)h, (i+1)h] \times [(j-1)h, (j+2)h],$$

$Q_{ij}^1 = \triangle ABD$, $Q_{ij}^2 = Q_{ij} - Q_{ij}^1$, 当 $x_{ij} \in Q_{ij} = \{x_{ij}, i, j = 1, 2, \dots, J\}$ 时, 必存在下标 i_m, j_m , 使得 $\tilde{x}_{ij} \in Q_{i_m, j_m}$, 其中

$$|x_{i_m} - \tilde{x}_{ij}| = \min\{|x_{1l} - \tilde{x}_{ij}|, x_{1l} \text{ 介于 } x_{1i} \text{ 与 } \tilde{x}_{ij} \text{ 之间}\},$$

$$|x_{2i_m} - \tilde{x}_{ij}| = \min\{|x_{2l} - \tilde{x}_{ij}|, x_{2l} \text{ 介于 } x_{2i} \text{ 与 } \tilde{x}_{ij} \text{ 之间}\}.$$

易知, 存在常数 K_4 , 使得

$$|\tilde{x}_{ij} - x_{i_m, j_m}| \leq |\tilde{x}_{ij} - x_{ij}| \leq K_4 \Delta t. \quad (3.5)$$

由 Sobolev 空间插值逼近定理知

$$|(u^{n-1} - \pi_3 u^{n-1})(\tilde{x}_{ij})| \leq \tilde{M}_3 (\|u\|_{L^\infty(W^{4,\infty})}) h^3 \Delta t.$$

由 $\xi^{n-1} = u^{n-1}(\tilde{x}) - \pi_3 u^{n-1}(\tilde{x}) + \pi_3 \xi^{n-1}(\tilde{x})$ 及上式, 可得

$$|(T_5, \delta_t \xi^n)| \leq \varepsilon \|\delta_t \xi^n\|^2 + M \left\| c(U^{n-1}) \frac{\pi_3 \xi^{n-1}(\tilde{x}) - \xi^{n-1}}{\Delta t} \right\|^2 + \tilde{M}_3 h^4. \quad (3.6)$$

显然

$$\pi_3 \xi^{n-1}(\tilde{x}_{ij}) - \xi_{ij}^{n-1} = \pi_3 \xi^{n-1}(\tilde{x}_{ij}) - \xi_{i_m, j_m}^{n-1} + \xi_{i_m, j_m}^{n-1} - \xi_{ij}^{n-1} \quad (3.7)$$

由 $\pi_3 v(x)$ 在 Ω_{i_m, j_m} 中的表达式, 经计算可得

$$|\pi_3 \xi^{n-1}(\tilde{x}_{ij}) - \xi_{i_m, j_m}^{n-1}| \leq M \max\{|\nabla_k \xi_{i, l}^{n-1}|; |x_{il} - x_{i_m, j_m}| \leq 2\sqrt{2}h\} \Delta t, \quad (3.8)$$

易知

$$|\xi_{ij}^{n-1} - \xi_{i_m, j_m}^{n-1}| \leq 2K_4 \max\{|\nabla_k \xi_{i, l}^{n-1}|; |x_{il} - x_{ij}| \leq K_4 \Delta t\} \Delta t. \quad (3.9)$$

假设 $\Delta t \leq Mh$, 则由(3.7)–(3.9), 可得

$$\begin{aligned} & \left\| c(U^{n-1}) \frac{\pi_3 \xi^{n-1}(\tilde{x}) - \xi^{n-1}}{\Delta t} \right\|^2 = \sum_{i, j=1}^J c(U_{ij}^{n-1}) \left(\frac{\pi_3 \xi^{n-1}(\tilde{x}_{ij}) - \xi_{ij}^{n-1}}{\Delta t} \right)^2 h^2 \\ & \leq M \sum_{i, j=1}^J \max\{|\nabla_k \xi_{i, l}^{n-1}|^2; |x_{il} - x_{ij}| \leq 2\sqrt{2}h + K_4 \Delta t\} h^2 \\ & \leq M \left(2\sqrt{2} + K_4 \frac{\Delta t}{h} \right)^2 \|\nabla_k \xi^{n-1}\|^2 \leq M \|\nabla_k \xi^{n-1}\|^2. \end{aligned} \quad (3.10)$$

由(3.6)和(3.10)可知

$$|(T_i, \delta_i \xi^n)| \leq \varepsilon \|\delta_i \xi^n\|^2 + M \|\nabla_k \xi^{n-1}\|^2 + \tilde{M}_3 h^4. \quad (3.11)$$

(3.1)式右端最后一项估计为^[4-5]

$$|(e^n, \delta_i \xi^n)| \leq \varepsilon \|\delta_i \xi^n\|^2 + \tilde{M}_4 \left(\left\| \frac{\partial^2 u}{\partial \tau^2} \right\|_{L^\infty(L^\infty)}, \|u\|_{L^\infty(W^{4,\infty})} \right) (\Delta t^2 + h^4). \quad (3.12)$$

用类似于[3]的方法处理(3.1)左端及 T_i 的估计式, 得

$$\left(\sum_{m=1}^n \|\delta_i \xi^m\|^2 \Delta t \right)^{\frac{1}{2}} + \|\xi^n\|_1 \leq \tilde{M}_5 \left(\|u\|_{W^{1,\infty}(W^{1,\infty})}, \|u\|_{L^\infty(W^{4,\infty})}, \left\| \frac{\partial^2 u}{\partial \tau^2} \right\|_{L^\infty(L^\infty)} \right) (\Delta t + h^2). \quad (3.13)$$

由不等式^[6]

$$\|V^n\|_\infty \leq M \left| \log \frac{1}{h} \right|^{\frac{1}{2}} \|\nabla_k V^n\| \quad (3.14)$$

可得

$$\|\xi^n\|_\infty \leq \tilde{M}_5 (\Delta t + h^2) \left| \log \frac{1}{h} \right|^{\frac{1}{2}} \leq \tilde{M}_5 h \left| \log \frac{1}{h} \right|^{\frac{1}{2}}. \quad (3.15)$$

把(3.1)中的 $\delta_i \xi^n$ 换为 $\nabla_k(\nabla_k \xi^n)$, 经计算可得

$$\|\xi^n\|_{2,2} \leq \tilde{M}_5 (\|\nabla_k \xi^n\| + \|\xi^{n-1}\|_1 + \|\delta_i \xi^n\| + \Delta t + h^2). \quad (3.16)$$

假定存在正常数 M_1 和 M_2 , 使得

$$M_1 h^3 \leq \Delta t \leq M_2 h \quad (3.17)$$

由(3.13)及上式, 可知

$$\|\delta_i \xi^n\| \leq \tilde{M}_5 \Delta t^{-\frac{1}{2}} (\Delta t + h^2) \leq \tilde{M}_5 h^{\frac{1}{2}}. \quad (3.18)$$

对 $V^n = \nabla_k \xi^n$ 应用不等式(3.14), 可得

$$\|\nabla_k \xi^n\|_\infty \leq M \|\xi^n\|_{2,2} \left| \log \frac{1}{h} \right|^{\frac{1}{2}} \leq \tilde{M}_5 \left(h \left| \log \frac{1}{h} \right| \right)^{\frac{1}{2}}. \quad (3.19)$$

由(3.15)和(3.19)知, 当 h 充分小时, (3.2)对 $m = n$ 也成立.

定理. 设问题(A)的解 $u \in W^{1,\infty}(W^{1,\infty}) \cap L^\infty(W^{4,\infty})$, $\frac{\partial^2 u}{\partial \tau^2} \in L^\infty(L^\infty)$, $\{U_{ij}^n\}$ 是基于

分片三次三角形或矩形插值的特征-差分格式的解,假设(3.17)成立,则当 h 足够小时,误差 $\xi^n = u^n - U^n$ 满足(3.13)和(3.15).

§4. 数值例子

我们对[4]中模型问题

$$\begin{cases} u_t + u_x - au_{xx} = a\pi^2 \sin(\pi(x-t)), & 0 < x < 1, 0 < t \leq 0.125, \\ u(x,0) = \sin \pi x; u(0,t) = -\sin \pi t, u(1,t) = \sin(\pi(1-t)), \end{cases}$$

用特征-差分格式及全隐格式进行了计算. 模型问题的真解 $u = \sin(\pi(x-t))$. 本文采用的全隐格式(CID)为 $\delta_t U_i^n + \frac{1}{2}(\delta_x + \delta_{\bar{x}})U_i^n - a\delta_{\bar{x}}\delta_x U_i^n = a\pi^2 \sin(\pi(x_i - t^n))$. 用

表1 $a = 1 \text{ Err} \times 10^4$

格式 \ J	MMM-TR	EMM-TR	Δt^2 格式	CID	2I-CDS	3I-CDS
20	6.35	6.41	12.5	45.77	10.30	8.99
40	1.64	1.63	3.14	26.37	2.67	2.35
80	0.416	0.416	0.788	14.20	0.579	0.49
160	0.105	0.105	0.197	7.86	0.435	0.44

表2 $a = 10^{-2} \text{ Err} \times 10^4$

格式 \ J	MMM-TR	EMM-TR	Δt^2 格式	CID	2I-CDS	3I-CDS
20	38.64	39.51	22.07	105.76	7.39	0.321
40	11.02	11.14	5.88	53.30	1.87	0.0185
80	2.89	2.90	1.48	26.76	0.47	0.00996
160	0.729	0.730	0.370	13.41	0.12	0.00162

表3 $a = 10^{-4} \text{ Err} \times 10^4$

格式 \ J	Δt^2 格式	CID	2I-CDS	3I-CDS
20		107.58	7.73	0.498
40	8.34	54.11	1.96	0.0521
80	2.68	27.13	0.491	0.0134

注: MMM-TR 格式及 EMM-TR 格式的时间步长为 $\Delta t = h^2$, 其余格式为 $\Delta t = \frac{h}{2}$.

$m1$ -CDS 表示基于 m 次插值的特征-差分格式。

表中给出真解和逼近解在 $z=0.125$ 时的 L^2 误差,并引用了[4]中用格式 MMM-TR, EMM-TR 及 Δt^2 -格式计算结果.从表中可看出,对于占优问题,3I-CDS的精度为 2I-CDS 的几十倍,2I-CDS 的精度大约为 MMM-TR 及 EMM-TR 的五倍, Δt^2 -格式的 3 倍, CID 的几十倍.因此,特征-差分格式远优于[4]中的混合 Godunov 格式及全隐格式.

参 考 文 献

- [1] J. Douglas, Jr, T. F. Russell, SIAM, J. Numer. Anal., **19**:5 (1982), 871—885.
- [2] J. Douglas, Jr, SIAM, J. Numer. Anal., **20**:4(1983), 681—696.
- [3] 由同顺,孙澈,计算数学,**15**, 2(1993),143—155.
- [4] C. N. Dawson, SIAM, J. Numer. Anal., **23**:5 (1991), 1282—1309.
- [5] J. H. Bramble, Numer. Math. **4**(1966), 236—249.